



REPÚBLICA DE CUBA

## Proyectos de Construcción

## VASOS DE HORMIGÓN SIMPLE Y ARMADO

## Método de cálculo y diseño

53-97

1989

Construction Designs. Simple  
and Reinforced Concrete Drum.  
Design and Calculation Method

Проекты строительства. Сосуды из бетона  
и армированного бетона. Метод расчета и проекта

Esta norma establece el procedimiento para realizar el cálculo y diseño de los vasos de hormigón simple masivo y armado utilizados para la unión de columnas prefabricadas de hormigón armado y postensado con el cemento.

1. Generalidades

- 1.1 Las caras interiores del vaso tendrán pendientes menores del 5 % con la vertical.
- 1.2 Se considerarán solamente las solicitudes usuales de carga normal de compresión  $N'$ , momento  $M$  y empuje o cortante  $T$ , cuando todas en la columna y a nivel del empotramiento.
- 1.3 La fuerza horizontal  $T$  actuará de forma que su efecto sea de igual sentido que el del momento  $M$ , o sea, en el sentido hacia donde tiene lugar el desplazamiento, vertical o real de la carga normal  $N'$ .
- 1.4 Todas las solicitudes actuarán en uno de los planos de simetría de la unión.
- 1.5 El tramo empotrado de la columna prefabricada será siempre macizo de sección cuadrada, rectangular o sección I (el eje de la I es perpendicular al plano de acción del momento).

2. Términos y definiciones

- 2.1 Pared frontal. Aquella en la que al actuar un momento reflector las presiones máximas ocurren en el borde superior.

3. Clasificación de las uniones

La clasificación de las uniones se establecen de acuerdo a la magnitud del menor ángulo  $\theta$  (determinado por una línea trazada desde el vértice superior interno de la pared frontal, la prolongación horizontal del fondo del vaso y la condición que la línea trazada quede comprendida en su totalidad dentro de la pared frontal de la

Aprobada  
Febrero 1989

ESTA NORMA ES OBLIGATORIA  
Sustituye a la NC 53-97:83

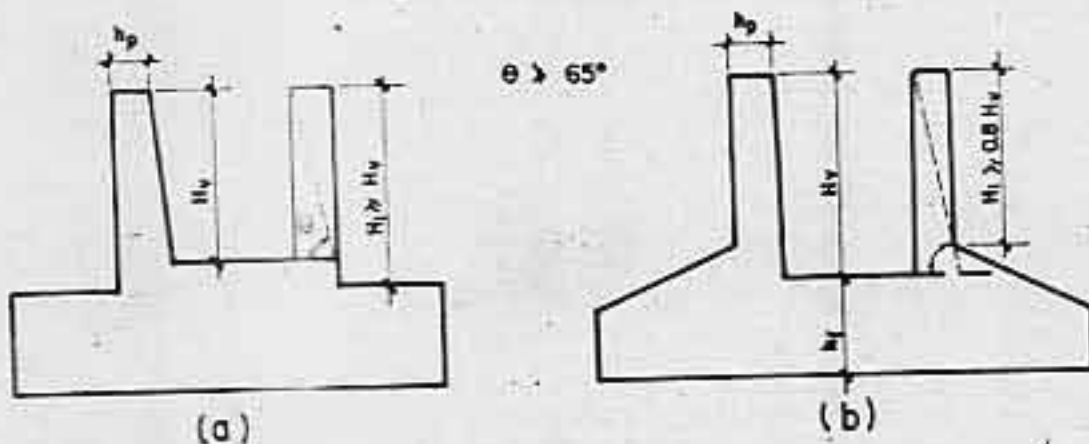
Vigente a partir de  
Enero 1990

uni<sup>n</sup>on). La uni<sup>n</sup>on de las columnas con los cimientos se clasifican de acuerdo a la rigidez de las paredes de los vasos en:

- Clase I. Uni<sup>n</sup>ones flexibles
- Clase II. Uni<sup>n</sup>ones rígidas

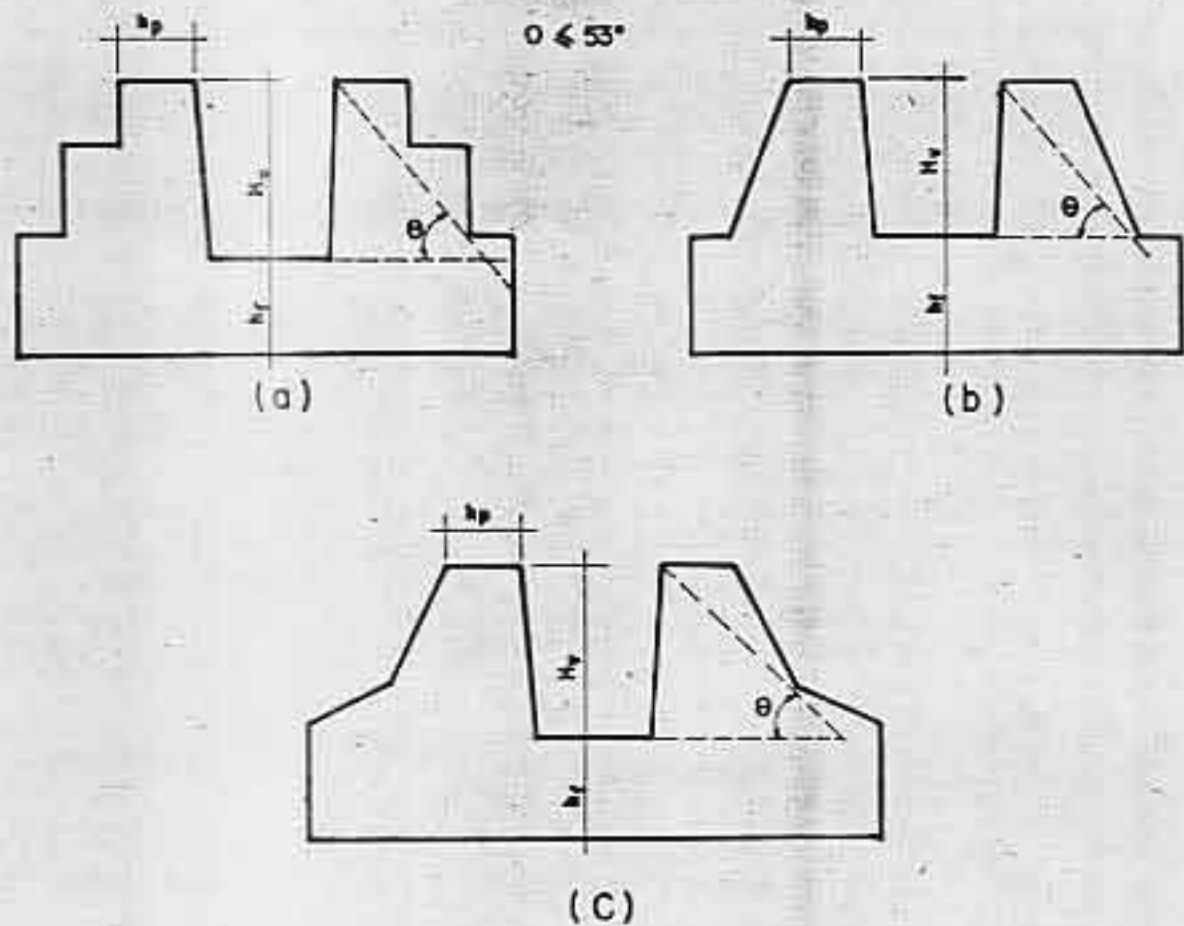
3.1 Uni<sup>n</sup>ones flexibles. Serán aquellas que tienen el fondo por encima o a nivel de la cara superior de la base del cimiento (véase figura 1a) y que cumpliendo las especificaciones constructivas establecidas en la sección 13, el ancho de sus paredes determinan el trazado de un ángulo igual o mayor que  $65^{\circ}$ .

Además las que teniendo el fondo por debajo del nivel de la cara superior de la base del cimiento (véase figura 1b), cumplen las especificaciones constructivas establecidas en la sección 13 y siempre que el ángulo sea igual o mayor que  $65^{\circ}$ , y además la altura  $H_1$  por la zona externa de la pared no sea inferior al 80 % de la profundidad  $H_0$  interna del vaso.



3.2 Uni<sup>n</sup>ones rígidas. En estas uni<sup>n</sup>ones el ángulo  $\theta$  es igual o menor que  $51^{\circ}$ .

Son masivas y de hormigón simple debiéndose comprobar a tracción diagonal según apartados 6.2 y 8.2 por lo que cualquier refuerzo que se coloque será constructivo con excepción del refuerzo horizontal inferior en dos direcciones normales entre sí, que corresponde al proyecto de la base del cimiento. Estos tipos de uni<sup>n</sup>ones son típicas de vasos que suelen formar parte integral del cimiento, es decir, forman una sola unidad, es común construirlos escalonados, o con taludes, véanse figuras 2a, 2b y 2c.



#### 4. Comportamiento de las uniones flexibles

Cuando se consideran combinaciones de solicitudes que incluyan carga de viento o de sismo, las uniones flexibles se comportan como uniones monolíticas si cumplen lo establecido en 4.1.1 y 4.1.2 y como elementos compuestos cuando no cumplan lo dispuesto en estos apartados.

##### 4.1 Condiciones de monolitismo de las uniones flexibles

###### 4.1.1 Condiciones de cálculo

###### 4.1.1.1 Restricciones al giro

$$s^* \leq s^* \text{ mínimo}$$

donde:

$s^*$  solicitación de tracción que se considere al comprobar la resistencia al giro, (kN)

Siendo:

$$\frac{M^*}{h - s} = \frac{N^{**}}{2}$$

donde:

a) esfuerzo teórico del acero traccionado o menor comprimido, (m)

$M^*$  solicitudes de cálculo de flexión de la columna en la sección de empotramiento superior del vaso, (kN)

$h$  espesor de la columna en la dirección del plano de acción del momento  $M$ , (m)

$N^{**}$  solicitudes de cálculo de compresión axial de la columna en la sección de empotramiento superior del vaso, (kN)

$s^*$  mínimo: se tomará el menor de los siguientes valores:

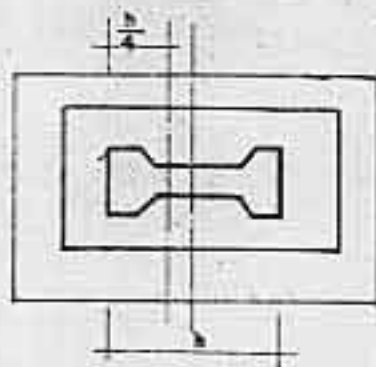
a)  $1,4 \cdot P_1 \cdot H_e \cdot \psi_1 \cdot \frac{7}{4} m$

b)  $1,4 \cdot P_2 \cdot H_e \cdot \psi_2 \cdot \frac{7}{2} m$ .

donde:

$P_1$  Parte del perímetro exterior de la columna limitado por la recta situada a una distancia  $\frac{h}{4}$  del borde de tracción o menos comprimido de la columna (Véase Figura 3)

$P_2$  Parte del perímetro interior del vaso limitado por la recta situada a distancia  $\frac{h}{4}$  del borde de tracción o menos comprimido de la columna y tomado a una profundidad de  $H_e$  (véase figura 3).



$b_e$  longitud de empotramiento de la columna, (m)

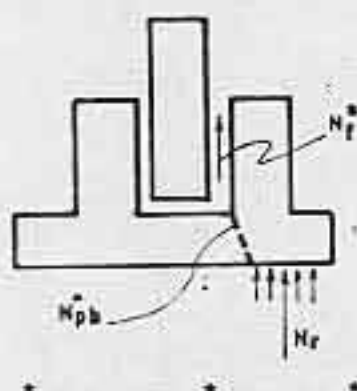
$\tau_c^*$  tensión límite de fricción - adherencia, (MPa)

$\psi_2$  Coeficiente que considera la rigurosidad de la columna y del vaso respectivamente y cuyos valores se toman de la tabla 1.

Tabla 1

Surfazie de contac- to	cot $\theta$	
	$\geq 0,6$	0
Lisa	1,2	0,4
Rigurosa	2	0,7

#### 4.1.1.2 Restricciones al punzonamiento\* (véase figura 4)



$$N_r^* \leq N_{pb}^* + N_f^*$$

donde:

$N_{pb}^*$  solicitación resistida por la base del cimiento

$N_r^*$   $N^*$  resultante

$$N_r^* = p \cdot H_e \cdot \zeta_m^*$$

donde:

$p$  perímetro de la columna empotrada, (m)

$H_e$  longitud de empotramiento de la columna, (m)

$\zeta_m^*$  tensión límite de fricción - adherencia en función de la calidad del hormigón o mortero de la junta y tiene los valores siguientes:

$R'_{bk}$ (MPa)	$\zeta_m^*$ (MPa)
20,0	1,10
17,5	1,05

donde:

$R'_{bk}$  resistencia característica del hormigón a la compresión, (MPa)

Nota. Para considerar el hormigón de la junta como:

$R'_{bk} = 20$  MPa La junta tiene que ser vibrada o compactada mecánicamente

$R'_{bk} = 17,5$  MPa si se usa exclusivamente mortero.

En ambos casos la calidad del hormigón o mortero será igual o mayor que la especificada.

#### 4.1.1.3 Restricción a la compresión lateral.

$$N_r^* < 0,4 \cdot R'_b \cdot H_e \cdot P_c$$

donde:

$P_c$  perímetro de la sección transversal de la columna en el empotramiento

$H_e$  longitud de empotramiento de la columna

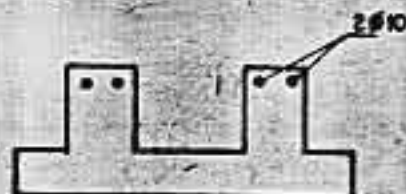
$N_r^*$  solicitación de cálculo (compresión axial) en la columna

$R'_b$  Resistencia de cálculo a tracción del hormigón.

#### 4.1.2 Condiciones constructivas

4.1.2.1 El espesor entre el fondo de la columna y el vaso será como mínimo de 50 mm.

4.1.2.2 En el vaso se colocarán siempre 2 estribos de Ø 10 mm en la zona superior del mismo (véase figura 5). Este refuerzo tomará las tensiones posibles debidas al montaje y retracción del hormigón.



4.1.2.3 El material de la junta será como mínimo.

$$R_{bk} = 17,5 \text{ MPa}$$

4.1.2.4 El acero mínimo longitudinal se calculará para la sección aligerada del vaso.

4.1.2.5 La mezcla de hormigón de la junta será de gravilla fina (tamaño del grano será 1/3 del espesor mínimo de la junta) El cemento Portland P-250 como mínimo teniendo un asentamiento de 75 mm.

4.1.2.6 Para la preparación de la mezcla se utilizará la cantidad mínima de agua necesaria para una buena elaboración de la mezcla (asentamiento no mayor de 75 mm), no se permitirá una mezcla líquida.

4.1.2.7 La superficie interior del vaso y de la parte empotrada de la columna se limpiará con cepillo de alambre y es necesario humedecerla.

4.1.2.8 La rugosidad de la superficie se alcanzará sin dañar la estructura del hormigón fraguado por medio del uso de cepillo de alambre al momento de encofrar. También se alcanzará según el diseño del cofre.

4.1.2.9 El hormigón de la junta se curará y se mantendrá húmeda por lo menos 72 horas.

4.1.2.10 Despues de colocar la columna ésta se asegurará contra todo movimiento hasta haber fraguado el hormigón. En el caso de usar cuñas se colocarán sin que se dañe el vaso.

4.1.2.11 El espesor mínimo de las paredes del vaso será 12 cm.

4.1.2.12 La longitud mínima de empotramiento de la columna será 1,1 h peso no mayor que 1,2 m.

### 5. Base de cálculo para uniones no monolíticas

- 5.1 La carga normal de compresión  $N'$  produce un efecto favorable en la unión cuya magnitud se tomará como:

$$N' \cdot e_z$$

donde:

$e_z$  excentricidad virtual en el nivel inferior de la profundidad de cálculo  $H_c$ , de la carga  $N' \cdot e_z$ .

Tendrá el menor valor de las dos condiciones siguientes

$$e_z = \begin{cases} h/2 \\ 0,7 e_0 \end{cases}$$

siendo:

$$e_0 = \frac{M + T \cdot H_c}{N'}$$

donde:

$T$  solicitación característica de cortante de la columna en la sección de empotramiento superior del vaso

$M$  solicitudes características de flexión de la columna en la sección de empotramiento superior del vaso

$M_c$  Profundidad de cálculo de la columna

$N'$  solicitudes características axial de compresión de la columna en la sección de empotramiento superior del vaso.

#### Notas:

- Si  $e_0 < h/6$ , no se considerarán las tensiones sobre las paredes del vaso y ésta se diseñará cumpliendo las disposiciones constructivas establecidas en la sección 13
- A los efectos del cálculo la  $H_c$  se tomará siempre igual a  $H_c$  de la columna. La longitud mínima de empotramiento de la columna se establece en el apartado 13.1.7.

- 5.2 En las uniones flexibles se admitirá proporcionalidad entre las deformaciones y las presiones, así como que las deformaciones en las zonas de las paredes en que ocurren presiones son elásticas y de variación lineal.
- 5.3 Para el análisis del espesor mínimo de las paredes en las uniones flexibles, se usará la presión media entre la máxima del borde superior y la presión correspondiente a  $5/11$  de la altura total "Y" del correspondiente bloque de presiones se limitará el esfuerzo cortante  
 $\tau^* \leq 0.3 R_b^*$ .

Siendo:

$\tau^*$  tensión tangencial de cálculo de hormigón

- 5.4 En las uniones rígidas se considera que la pared tiene una rigidez tal, que es prácticamente indeformable por efecto de las presiones y que el fallo se producirá por un efecto semejante al ocasionado por punzonamiento.
- 5.5 Se admitirá que el plano de contacto del extremo inferior de la columna con el mortero de relleno de la zona inferior del vaso, podrá desarrollarse una fuerza por fricción  $F_f$  (fuerza de fricción en el plano de contacto del extremo inferior de la columna con el mortero de relleno de la zona inferior del vaso), cuya magnitud máxima será en función del coeficiente de fricción y de la porción de carga nominal  $N'$  que llega al fondo a través de la columna.
- 5.6 En las uniones flexibles el refuerzo de las paredes se determinará a partir de las ecuaciones de equilibrio de la estática aplicada.
- 5.7 Para el cálculo del refuerzo longitudinal de las paredes de uniones flexibles se considerará el vaso, (sección circular o hueca) sometido al momento flector resultante de las presiones en las paredes sin tener en cuenta la posible porción de carga normal  $N'$  que puede pasar las paredes por efecto de la fricción lateral.
- 5.8 Las presiones sobre las paredes de la unión se determinarán a partir de las solicitudes características  $N$ ,  $M$  y  $V$  que actúan en la columna.
- 5.9 La comprobación y diseño se efectuará utilizando el método de diseño límite de acuerdo a lo establecido en la NC 39:89 "Proyectos de construcción. Obras de hormigón armado. Principios generales y métodos de cálculo".
- 5.10 Las solicitudes de cálculo para el diseño se determinarán a partir de las solicitudes de servicios afectados por los coeficientes que se establecen en la NC 53-97. En la práctica se admitirá utilizar un coeficiente global  $\gamma$  con los valores siguientes:

- control intenso : 1,35
- control normal : 1,40
- control reducido: 1,45

6. Diagrama de presiones en las paredes para uniones no monolíticas

6.1 Unión flexible. Se asume que la  $F_f$  es menor, igual o mayor que la  $F_{fm}$ . En las paredes de la unión flexible se considerará las presiones según los siguientes diagramas.

6.1.1 Diagrama: Diagrama triangular Único (caso general) con presión sólo en la pared frontal y en toda la profundidad efectiva de cálculo  $H_e$  (véase figura 6).

6.1.2 La condición de este diagrama es:

$$F_f \leq F_{fm}$$

donde:

$F_f$  fuerza de fricción en el plano de contacto del extremo inferior de la columna con el mortero de relleno de la zona inferior del vaso

$F_{fm}$  fuerza de fricción máxima en el plano de contacto del extremo inferior de la columna con el mortero de relleno de la zona inferior del vaso.

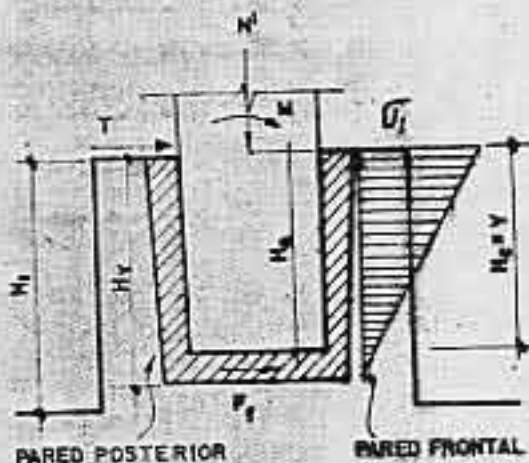


FIGURA 6. UNION FLEXIBLE  
DIAGRAMA -  $F_f \leq F_{fm}$

En el caso del diagrama triangular único (caso especial); se considerará un diagrama triangular único, cualquiera que sea la magnitud de fuerza de resbalamiento  $F_f$  en el caso de uniones en las que  $H_l < H_v$  como se establece en el apartado 3.1, siempre en el fondo de la columna quedarán 5 cm o más (véase figura 7) por debajo de la cara superior de la base de cimiento, es decir, cumplirán que:

$$H_e \geq H_l + 5 \text{ cm}$$

Utilizándose el formulario del diagrama triangular único.

dónde:

$H_v$  altura interior del vaso

$H_e$  longitud de empotramiento de la columna.

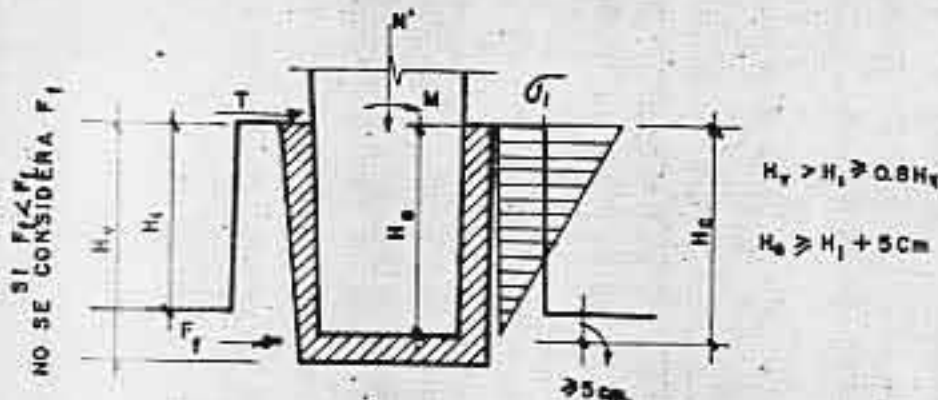


FIGURA 7. UNION FLEXIBLE  
DIAGRAMA I. CASO ESPECIAL

6.1.3 Diagrama II. Diagrama triangular doble de presiones, (véase figura 8), uno en la parte superior de la pared frontal y otro en la porción inferior de la pared posterior.

6.1.3.1 La condición para este diagrama es:

$$F_f > F_{fn}$$

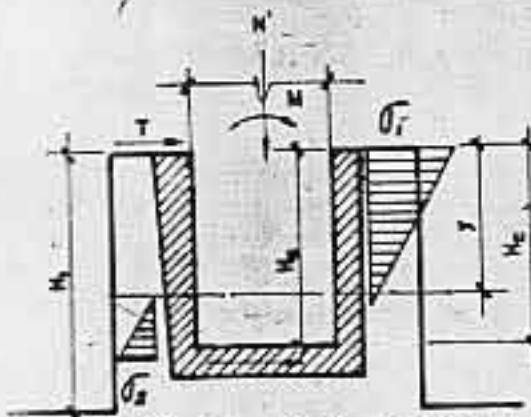


FIGURA 8. UNION FLEXIBLE  
DIAGRAMA II.  $F_r > F_{fm}$ .

6.2 Uniones rígidas. No se considerará diagrama de presiones, o no se tendrá en cuenta la posible distribución de las presiones sobre una cierta altura de la pared sino que se determina la magnitud probable de la resultante y su posible punto de aplicación.

La resultante superior  $F_1$  existe siempre y se considera aplicada a una distancia del borde superior igual al 15 % de la profundidad  $H_c$  (véase figuras 9a y 9b).

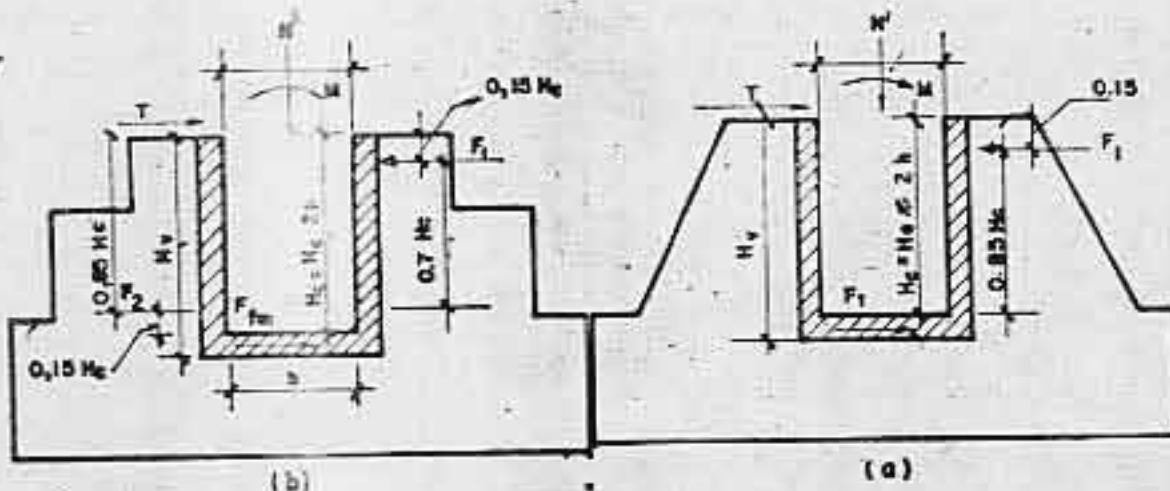


FIGURA 9 UNIONES RÍGIDAS

La reacción resultante  $F_2$  existe solamente cuando la fuerza  $F_r$  supera  $F_{fm}$  y en tal caso se considera actuando en la parte posterior a una distancia del borde superior igual al 35 % de la profundidad  $H_c$ , (véase figura 9b); aún cuando su magnitud se utiliza en las comprobaciones, su existencia modifica el brazo del par resistente y con ello la magnitud de  $F_1$ .

## 7. Cálculo de las presiones en uniones no monolíticas

### 7.1 Uniones flexibles

#### 7.1.1 Valores de las fuerzas $F_f$ y $F_{fm}$

7.1.1.1 Valor de  $F_f$ . El valor de  $F_f$  (véase figura 10) estará dado por la siguiente expresión:

$$F_f = \frac{N' \cdot e_z + T \left( \frac{H_c}{3} \right)}{\frac{2}{3} H_c} = \frac{3}{2 H_c} (M - N' \cdot e_z) - \frac{T}{2}$$

dónde:

$F_f$  (véase apartado 6.1.2)

$M$  solicitudes características de flexión de la columna en la sección de empotramiento superior del vaso

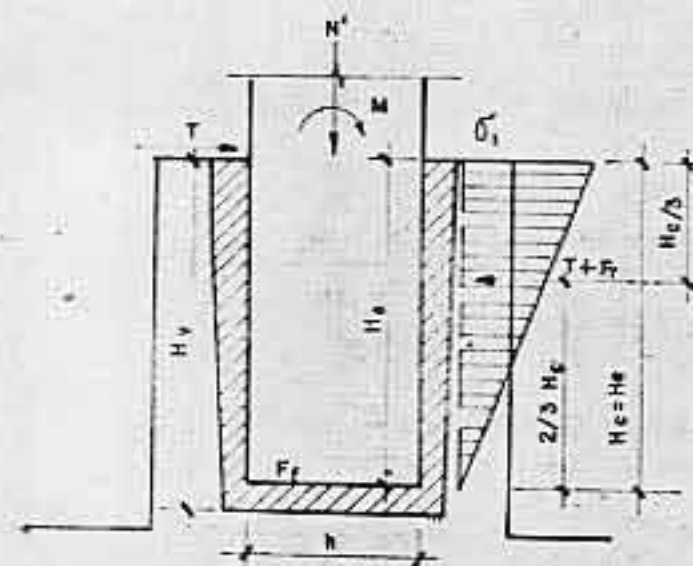
$N'$  solicitudes características de compresión axial de la columna en la sección de empotramiento superior del vaso

$e_z$  excentricidad vertical en el nivel inferior de la profundidad de cálculo  $H_c$ , de la carga  $N'$

$H_c$  profundidad de cálculo de la columna

$T$  empuje o cortante.

Note. En la fórmula anterior  $e_z$  tendrá el valor según lo establecido en el apartado 5.1.



### 7.1.1.2 Valor $F_{fm}$

$$F_{fm} = 0,5 \text{ N'}$$

### 7.1.2 Formulario para el cálculo de las presiones

#### 7.1.2.1 Diagrama I

$$\sigma_1 = \frac{3(M-N' \cdot e_z) + T \cdot H_c}{b (H_c)^2} = \frac{3 N' (e_o - e_3)}{b (H_c)^2}$$

donde:

$\sigma_1$  tensión máxima en la parte superior e interior de la pared frontal del vaso

b ancho de la columna en contacto

M, N', e<sub>z</sub>, T y H<sub>c</sub> están definidos en el apartado 7.1.1.1

e<sub>o</sub> excentricidad virtual en el nivel inferior a la profundidad de cálculo H<sub>c</sub>.

#### 7.1.2.2 Diagrama II

$$\sigma_1 = 6 \frac{(M-N' \cdot e_z) + (4t - N') H_c}{b (H_c)^2} =$$

$$\frac{6 N' (e_o - e_z) - (N' + 2 T) H_c}{b (H_c)^2}$$

$$\sigma_2 = - \left[ \frac{6 (M-N' \cdot e_z) + (T-N') 2 H_c}{b (H_c)^2} \right] =$$

$$\frac{6 N' (e_o - e_z) - (N' + 2 T) 2 H_c}{b (H_c)^2}$$

#### Notas:

- 1) El signo negativo de la presión  $\sigma_2$  demuestra que las mismas se ejercen sobre la pared posterior

- 2) La magnitud de  $e_z$  se tomará de acuerdo con lo establecido en 5.1 (véase nota 2)
- 3) El parámetro b representará siempre el ancho de la columna en contacto con la pared frontal o con la posterior, o sea, la dimensión de la sección del empotramiento de la columna normal a la dimensión h (espesor de la columna en la dirección del plano de acción del momento M).

## 7.2 Uniones rígidas

### 7.2.1 Valores de $F_f$ y $F_{fm}$

7.2.1.1 Valor de  $F_f$ . Cuando  $H_e \leq 2h$  entonces  $H_c = H_e$  y se tendrá:

$$F_f = \frac{M - N' \cdot e_z + 0,15 T \cdot H_c}{0,85 H_c} = \frac{N' (e_o - e_z)}{0,85 H_c} \cdot 6 - T$$

7.2.1.2 Valor de  $F_{fm}$ . Se utilizará el mismo valor establecido en 7.1.12.

### 7.2.2 Formulario para el cálculo de las presiones

7.2.2.1 Si  $F_f \leq F_{fm}$  (véase figura 6a)

$$F_1 = \frac{M - N' \cdot e_z + T \cdot H_c}{0,85 H_c} = \frac{N' (e_o - e_z)}{0,85 H_c}$$

$F_2 = 0$  No se requiere determinarla  
donde:

$F_1$  fuerza actuante en la pared frontal de unión rígida

$F_2$  fuerza actuante en la pared posterior de unión rígida.

7.2.2.2 Si  $F_f > F_{fm}$  entonces:

$$F_1 = \frac{M - N' \cdot e_z + 0,85 T \cdot H_c - 0,15 \frac{(N')}{2} H_c}{0,7 H_c}$$

$$= \frac{N' (e_o - e_z) - 0,15 H_c (T + \frac{N'}{2})}{0,7 H_c}$$

$$F_2 = \frac{M - N' \cdot e_z + 0,15 T \cdot H_c - 0,85 \frac{(N')}{2} H_c}{0,7 H_c}$$

$$= \frac{N' (e_0 - e_z) - 0,85 H_c (T + \frac{N'}{2})}{0,7 H_c}$$

8. Comprobación del espesor de la pared en uniones no monolíticos

8.1 Uniones flexibles. De acuerdo con lo establecido en 5.3 la comprobación del espesor de la pared se efectuará por:

$$\gamma = \frac{0,36 f \cdot f_1 \cdot b}{h_p} < 0,3 R'_b *$$

donde:

$h_p$  espesor de la parte superior de la pared del vaso

$R'_b *$  resistencia de cálculo para hormigón en compresión

$b$  ancho de la columna en contacto con la pared frontal o posterior del vaso, perpendicular a la dirección del plano de acción del momento  $M$

8.2 Uniones rígidas. Se comprueba la resistencia de las paredes al punzonamiento que puede producir la resultante  $F_1$  producto de las presiones superiores y el análisis se realizará utilizando los principios establecidos en la NC 53-39.

Para ello, partiendo de la línea coincidente con el punto de aplicación de  $F_1$ , es decir, a la profundidad de  $0,15 H$ , (véase figura 11), se traza un plano inclinado a  $45^\circ$  con la horizontal hasta que corta la cara exterior de la pared o de la base, al propio tiempo desde las aristas verticales de la columna se trazan dos planos, o sea, buscando las aristas exteriores de la pared, los tres planos mencionados son los probables planos de fallo y el área total encerrada dentro de los mismos y limitados por las causas externas de la pared o de la base, constituye el área resistente a tracción que equilibra los efectos del punzonamiento sobre la pared. Para los fines prácticos del cálculo y teniendo en cuenta que al establecerse el equilibrio con la fuerza  $F_1$  se utiliza el área total proyectada  $B_p$  que se compone del área horizontal  $B_h$ , (véase figura II) y dos áreas verticales de modo que:

$$B_p = B_h + 2 B_v$$

donde:

$B_p$  área total resistente al punzonamiento en unión rígida

$B_h$  área horizontal componente de  $B_p$

$B_V$  Área vertical componente de  $B_p$

La comprobación se establece de acuerdo con lo expuesto en la NC 53-39.

$$\frac{\gamma \cdot F_1}{B_p} = \frac{\gamma \cdot F_1}{B_b + 2 B_V} \leq 0,75 R_b^*$$

8.2.1 Para la determinación de la dimensión  $h_{px}$ , se utilizará la expresión:

$$h_{px}^2 + h_p \times (0,15 H_c + h_p + b_V) + 0,15 H_c h_p - B_p = 0$$

$$X = 0,15 H_c + h_{px} \quad (\text{véase figura 11})$$

Si  $X > H_1$  se aumenta  $h_p$  hasta que  $X \leq H_1$

donde:

$H_1$  altura exterior del vaso hasta la base del círculo.

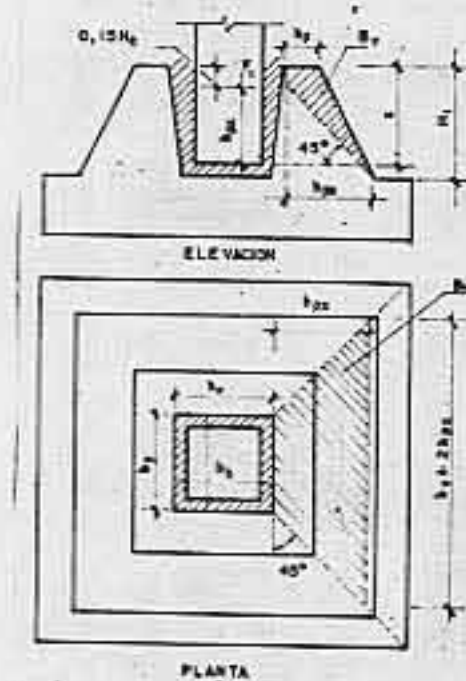


FIGURA II UNION RÍGIDA. COMPROBACIÓN DEL ESPESOR DE LA PARED

8.2.1.1 El valor mínimo teórico de  $h_p$  se determinará con la siguiente expresión.

$$h_{p \text{ teórico}} = \frac{B_p - (H_1 - 0,15 H_c)^2 - (H_1 - 0,15 H_c)(0,15 H_c + b_v)}{H_1} h_{p \text{ const.}} \quad h_{p \text{ minimo}}$$

donde:

$h_{p \text{ const.}}$  Valor mínimo constructivo  $h_p$

$$\text{siendo: } B_p = \frac{F_1}{0,75 R_b^*}$$

#### 9. Refuerzo transversal de las paredes laterales de uniones no monolíticas flexibles

Debido a la variabilidad del diagrama de presiones y para los fines del cálculo del refuerzo transversal de las paredes laterales, se divide la profundidad del diagrama de presiones en varias zonas, no menor de dos (véase figura 12), en cada una de las cuales se considerará una distribución uniforme de presiones con una magnitud igual al promedio de los valores reales de las presiones de cada zona considerada. En cada zona se establecerán las ecuaciones de equilibrio entre las solicitudes que originan las presiones y las correspondientes resistencias de las armaduras.

Se considerará siempre una zona básica superior con una altura igual al 25 % de  $H_c$ , como se indica en la figura 12. El resto del diagrama o de los diagramas se dividirá de acuerdo con la importancia que tenga la variación de las presiones de modo que puedan obtenerse ventajas económicas apreciables sin que impliquen grandes complicaciones constructivas; en ningún caso la altura de estas zonas se tomará inferior al 0,25  $H_c$ .

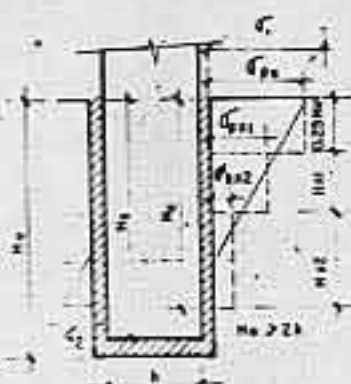


FIGURA 12 UNION FLEXIBLE. REFUERZO TRANSVERSAL DE LAS PAREDES

- 10.1 Refuerzo de la zona básica superior. En una pared lateral y para la altura establecida de  $0,25 H_a$  cumplirá con la siguiente expresión.

$$A_s \geq \frac{\gamma \sigma_{ps} \cdot b \cdot H_c}{\phi \cdot R_a^*}$$

donde:

$A_s$  área total de refuerzo de la zona básica superior en una pared lateral

$\phi$  coeficiente que tiene en cuenta el posible trabajo no uniforme del refuerzo, usualmente puede tomarse igual a 0,9

$\sigma_{ps}$  tensión promedio en la zona básica superior

$R_a^*$  resistencia de cálculo del acero de refuerzo.

El espaciamiento máximo en la misma zona para barras de refuerzo de área  $a_g$  colocadas en una misma fila o camada en número igual a  $n_g$ , cumplirá la siguiente relación:

$$t_s \leq \frac{2(n_g \cdot a_g) \phi \cdot R_a^*}{\gamma \cdot \sigma_{ps} \cdot b}$$

donde:

$n_g$  número de barras en una misma fila o camada

$a_g$  área de la barra de diámetro  $\phi$

$t_s$  espaciamiento máximo de las barras, filas o camadas de refuerzo en la zona básica superior en la pared lateral.

$\sigma_{ps}$  tensión promedio de la zona básica superior.

Nota: los efectos prácticos y manteniéndose del lado de la seguridad se pueden usar los siguientes valores de acero con la magnitud de la profundidad "y" del bloques triángular de presiones superiores.

$$\begin{array}{ll} \gamma_{ps} = 0,90 & \gamma_1 \text{ cuando } 0,8 H_c < y \leq H_c \\ \gamma_{ps} = 0,85 & \gamma_1 \text{ cuando } 0,6 H_c < y \leq 0,8 H_c \\ \gamma_{ps} = 0,80 & \gamma_1 \text{ cuando } y \leq 0,6 H_c \end{array}$$

donde:

$y$  altura total del bloque de presiones en la pared frontal.

11 Refuerzo transversal de las paredes frontal y posterior de uniones no monolíticas flexibles

Se colocará el mismo refuerzo transversal que el calculado para las paredes laterales.

12 Refuerzo longitudinal de las paredes frontal y posterior de uniones no monolíticas flexibles

De acuerdo con el apartado 5.7, el refuerzo longitudinal de las paredes frontal y posterior, se calcula de acuerdo con lo establecido en la NC 53-39:89

Para ello, se considerará el vaso como si fuera una viga hueca (viga cañón) un valadizo, es decir, empotrado en la sección de unión con el resto del pedestal o con la base del cimiento, y sometida al momento flector que originan las presiones en la sección del empotramiento o en cualquier otra que se estime crítica. Se utilizarán en el cálculo del momento flector, tanto las presiones sobre la pared frontal como sobre la posterior en caso de existir, determinadas según el apartado 5.1.

13. Disposiciones constructivas

13.1 Comunes a todas las uniones

13.1.1 Lateralmente en la zona del fondo, el relleno de la junta tendrá un espesor  $d_j$  no menor de 5 cm, y no mayor de 8 cm, según se muestra en la figura 13.

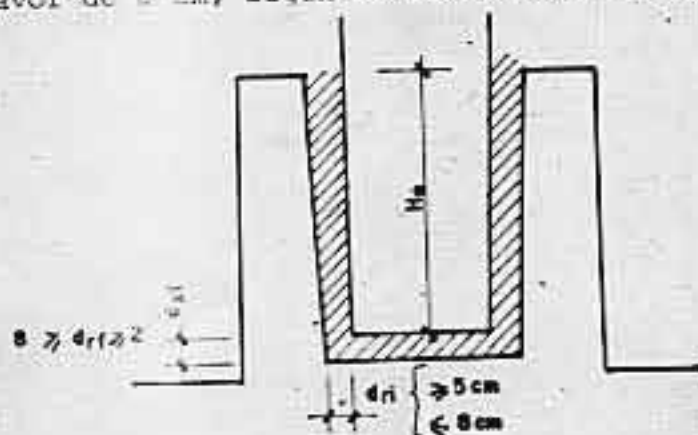


FIGURA 13 RELLENO DE LA JUNTA

- 13.1.2 Entre la parte inferior de la columna y el fondo del vaso se colocará un relleno no mayor de 8 cm y no menor de 2 cm de espesor (véase figura 13), constituido por mortero u hormigón de gravilla de resistencia característica no menor de 17,5 MPa. Por tanto, la profundidad constructiva normal de un vaso será igual a:

$$H_{v \max} = H_{e \max} + \text{espesor del relleno}$$

donde:

$H_v$  altura interior del vaso

$H_e$  longitud de empotramiento de la columna

- 13.1.3 Sobre el relleno fraguado especificado en 13.1.2 se vertirá en la unión con no más de 3/4 de hora de antelación al momento en que la columna se introduzca en el vaso, una capa de mortero de 1 cm de espesor, de modo que la columna asiente sobre este mortero garantizándose así la fricción entre ambos elementos.

Las características de este mortero serán semejante a las señaladas en el apartado 13.1.2.

- 13.1.4 El relleno de la junta lateral se vertirá después de colocada en posición la columna y fijada al vaso en forma firme por aditamientos provisionales, y se hará con hormigón de gravilla que no exceda de 1 cm de grueso y la calidad del mismo no será igual o mayor a la del hormigón de la unión y nunca menor de 17,5 MPa.

- 13.1.5 El hormigón del vaso será de calidad igual a la del hormigón de pedestal o de la base del cimiento.

- 13.1.6 Se recomienda que las esquinas interiores del vaso, no se terminen en ángulo recto, para ello se utilizará un bisel colocado simétricamente con relación a las paredes, véase figura 14a, cuya longitud será variable por ser inclinadas las paredes interiores y cuyo valor será tal que en ningún punto de la altura la distancia de la arista de la columna al bisel sea menor del 70 % del espesor de la junta a la altura correspondiente.

Cuando se usan columnas con vértices achaflanados, véase figura 14b, la distancia entre el chaflán de la columna y el bisel del vaso será tal que el vértice que originará la prolongación de los lados, cumpla con lo especificado anteriormente.

Nota. En estos casos la dimensión del chaflán será tan pequeña que permita seguir considerando la sección del empotramiento como rectangular y no como forma octogonal.

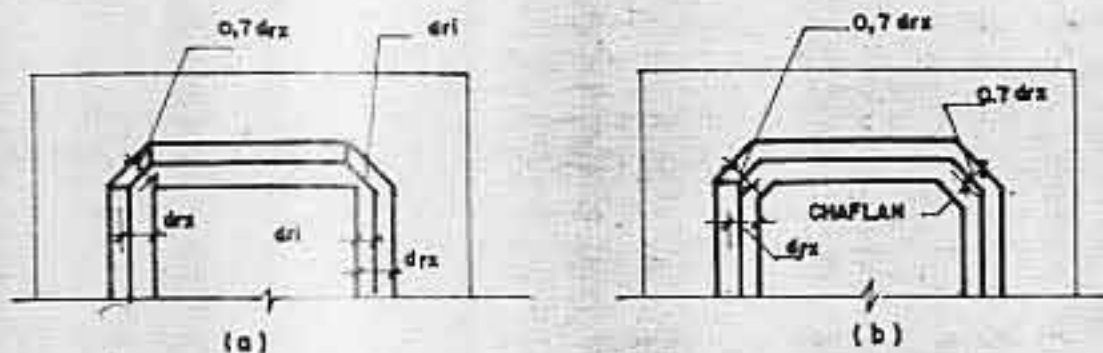


FIGURA 14 ESKUINAS INTERIORES DEL VASO

13.1.7 La longitud mínima de empotramiento de la columna  $H_e$  cumplirá con el mayor de los siguientes valores.

$$H_e \geq \begin{cases} 1,5 h & \text{cuando } e_o \geq 0,7 h \\ 1,0 h & \text{cuando } h < e_o < 0,7 h \\ 0,75 h & \text{cuando } e_o \leq \frac{h}{6} \end{cases}$$

$H_e \geq l_d$  (longitud de anclaje véase NC 53-39)

$$H_e \geq 30 \text{ cm}$$

13.1.18 El espesor mínimo  $h_f$  del fondo de la unión (véase figuras 1, 2), cumplirá con la mayor de las condiciones siguientes:

$$h_f \geq \frac{h}{2} \quad h_f \geq 25 \text{ cm}$$

13.1.19 En caso que la solicitud predominante sea la compresión, es decir, con  $e_o \leq \frac{h}{6}$ , se colocará a 5 cm

por debajo del fondo del vaso, una malla formada por barras de Ø 10 mm espaciadas a 10 cm en ambas direcciones. De no usarse dicho refuerzo se comprobará el fondo del vaso a presiones de contacto localizadas según la NC 53-39.

Si la área de contacto por debajo de la columna se considera igual al área exterior de la unión del vaso con la base. Si se necesita malla de refuerzo, esta se coloca a 5 cm por debajo del fondo del vaso.

### 13.2 Para la unión flexible

13.2.1 El espesor mínimo  $h_p$  del borde superior cumplirá las siguientes condiciones.

- El área de la sección transversal del vaso a nivel del extremo superior, será igual o mayor que el área de la sección transversal de la columna en el empotramiento.

$$h_p \geq 12 \text{ cm}$$

13.2.2 Cuando el espesor del borde superior tiene el valor  $\leq 5$  cm, se admitirá que el refuerzo transversal está constituido por barras en forma de cercos octogonales soldados en su extremos y colocados en el eje de la patada, (véase figura 15), además se colocarán barras longitudinales en cada vértice que puede constituir todo o parte del refuerzo requerido en dicha dirección.

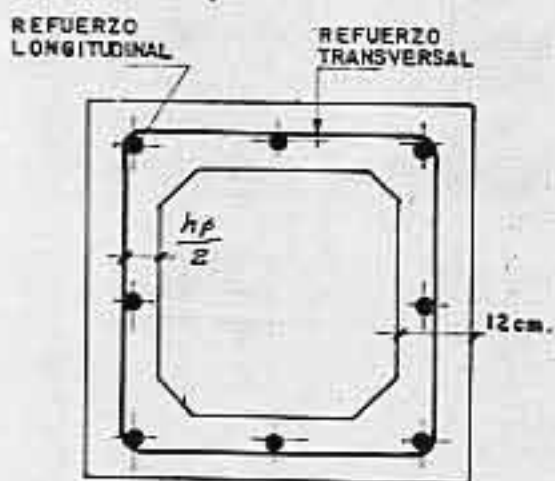


FIGURA 15 UNION FLEXIBLE  $h_p \leq 15$  cm

- 13.2.3 Cuando  $h_p > 15$  cm, el refuerzo transversal se dispondrá en doble fila de barras (véase figura 16), pudiendo la exterior estar constituida por un cerco continuo rectangular con sus extremos soldados, y la interior por barras individuales extendidas hasta el refuerzo exterior y soldadas a él en las zonas de contacto, en todos los vértices exteriores se colocarán barras longitudinales que pueden ser el total o parte del refuerzo requerido en dicha dirección.

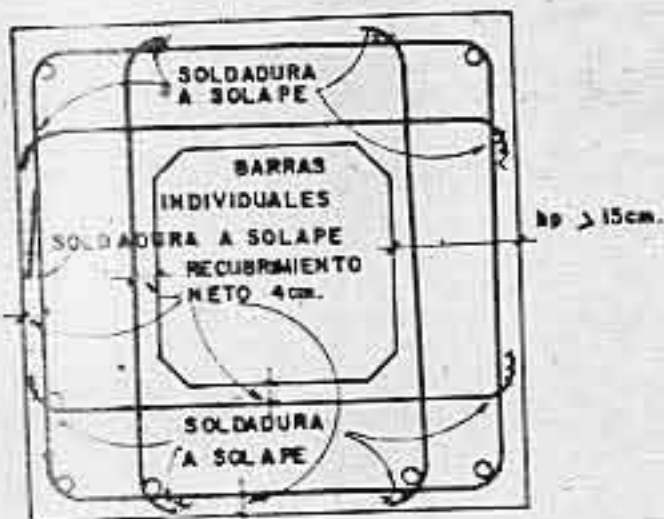


FIGURA 16. UNION FLEXIBLE  $h_p > 15$  cm.

El refuerzo exterior puede formar con barras individuales que se crucen y soldadas en las zonas correspondientes.

- 13.2.4 En caso de no usarse soldadura, el proyectista garantizará el anclaje del refuerzo transversal indicado en los planos las medidas constructivas apropiadas al caso.
- 13.2.5 Para el refuerzo transversal no se usarán barras de diámetro inferior a 10 cm.
- 13.2.6 El primer refuerzo transversal se situará a 5 cm del borde superior del vaso.
- 13.2.7 El espaciamiento del refuerzo transversal no excederá del siguiente valor:

$$t_x \leq \frac{h_c}{4}$$

donde:

$t$  espaciamiento máximo de las barras, filas o capas del refuerzo en la zona  $x_1$  que se analiza en la pared lateral,

- 13.2.8 Tanto el refuerzo transversal como el longitudinal cumplirá con las cuantías mínimas establecidas en el apartado 6.7.6 de la NC 53-39:89.
- 13.2.9 Usualmente el parámetro externo de las paredes se construye vertical, y se admitirá que pueda tener un ligero talud hacia afuera siempre que se cumplan las condiciones establecidas en la sección 5, y apartados 13.1 y 13.2.

### 13.3 Para unión rígida

- 13.3.1 El espesor mínimo del borde superior cumplirá.

$$h_p \geq 15 \text{ cm}$$

- 13.3.2 En paredes escalonadas, (véase figura 17) se cumplirá.

$$h_e \geq 0,75 H_s$$

donde:

$H_s$  altura del escalón en paredes de vasos escalonados.

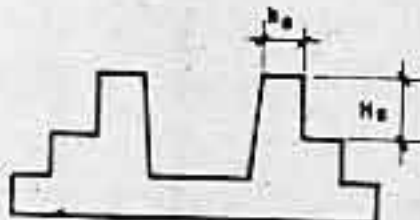


FIGURA 17 UNION RIGIDA. PARED ESCALONADA

- 13.4 Para vasos cuando  $e_0 \leq \frac{h}{6}$  (vasos rígidos o flexibles)

- 13.4.1 En los casos en que  $\theta \leq 53^\circ$  se permitirá diseñar el vaso sin utilizar el refuerzo.

Cuando sea mayor de  $53^\circ$  se utilizará un refuerzo mínimo transversal formado por cercos octogonales de Ø 10 mm colocados en el eje de la pared (véase figura 15) espaciados a no más de  $\frac{H_c}{4}$  y situados el primer cerco de acuerdo con 13.2.6.